

**РЕЛАКСАЦИОННОЕ УРАВНЕНИЕ ДЛЯ КОЛЕБАТЕЛЬНОЙ ЭНЕРГИИ
МОЛЕКУЛ В ГАЗЕ ЗА ФРОНТОМ СИЛЬНОЙ УДАРНОЙ ВОЛНЫ**

Б. В. Куксенко, С. А. Лосев, О. П. Шаталов

(Москва)

Достаточно строгий вывод релаксационного уравнения для колебательной энергии диссоциирующего газа возможен лишь для модели одноквантовых переходов в гармоническом осцилляторе; в этом случае нетрудно получить выражение [1, 2]

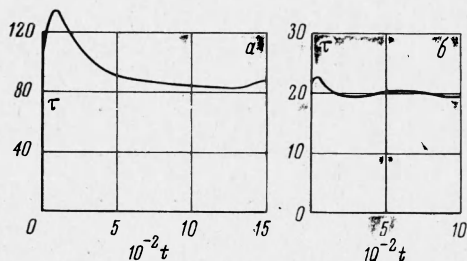
$$\frac{d\varepsilon}{dt} = \frac{\varepsilon^* - \varepsilon}{\tau} + E^* \frac{dn}{dt} \quad (1)$$

Здесь ε — колебательная энергия единицы объема газа; ε^* — равновесное значение ε ; τ — время релаксации; E^* — средняя колебательная энергия, теряемая при каждом акте диссоциации молекулы; n — плотность числа молекул. При описании релаксационных процессов в мощных ударных волнах в газе становится существенной ангармоничность, большое значение приобретают многоквантовые переходы и диссоциация. Для решения вопроса о возможности использования (1) в этом случае необходимо рассмотреть систему кинетических уравнений баланса числа молекул x_i на каждом колебательном уровне, полагая возможными переходы между любыми уровнями $i \leftrightarrow j$ и с любого уровня в диссоциационный континуум $i \leftrightarrow d$

$$\frac{dx_i}{dt} = Z \sum_{j \neq i}^{d-1} P_{ji}(T) x_j - Z \sum_{j \neq i}^d P_{ij}(T) x_i + ZP_{di}(T) x_d^2, \quad i = 0, 1, 2, \dots, d-1 \quad (2)$$

$$\frac{1}{2} \frac{dx_d}{dt} = Z \sum_{j=0}^{d-1} P_{jd}(T) x_j - Z \sum_{j=0}^{d-1} P_{dj}(T) x_d^2 \quad (3)$$

Здесь x_d — концентрация диссоциированных атомов, Z — частота столкновений, $P_{ij}(T)$, $P_{jd}(T)$ — вероятности соответствующих переходов. Решая численно систему (2), (3) и вычисляя $\varepsilon = \sum E_i x_i(t)$ (E_i — энергия i -го уровня) и $n = \sum x_i(t)$, убеждаемся, что (1) может приближенно выполняться и при очень высоких температурах в кислороде до $T = 20000^\circ\text{K}$. Используемые в решении величины $P_{ij}(T)$ и $P_{jd}(T)$ определялись в рамках классической механики по методу вариации начальных условий столкновения (различных ориентаций молекул и фаз колебаний) в случае $\text{O}_2 - \text{Ar}$.

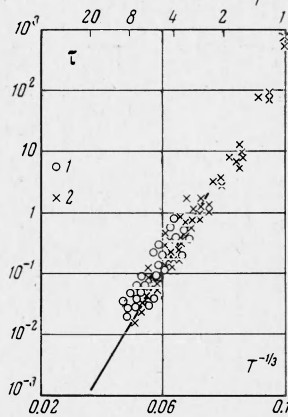


Фиг. 1 Изменение времени колебательной релаксации τ после начала возбуждения колебаний в смеси $\text{O}_2 - \text{Ar}$ (масштаб по обеим осям — среднее время свободного пробега) (а — для температуры $T = 10000^\circ\text{K}$, б — $T = 20000^\circ\text{K}$)

Фиг. 2 Время колебательной релаксации в смеси $\text{O}_2 - \text{Ar}$. 1 — экспериментальные результаты данной работы, 2 — результаты других авторов (ссылки см. в [3]). Сплошная линия — расчетные значения согласно (1) для максимальных величин τ . Масштаб по оси ординат — время в мксек, по верхней оси абсцисс — температура в тысячах градусов

При этом внутримолекулярный потенциал вычислялся по методу Ридберга — Клейна — Риса для реальной молекулы с учетом ангармоничности. Межмолекулярный потенциал был взят в виде суммы экспоненциальных членов, соответствующих силам отталкивания между налетающим атомом и атомами, связанными в молекулу, с параметрами, полученными в исследованиях по упругому рассеянию молекулярного пучка¹.

¹ Некоторые подробности постановки динамической задачи описаны в [3].



Величина E^* , равная

$$E^* = \frac{1}{dn/dt} (\Sigma P_{di} E_i x_d^2(t) - \Sigma P_{id} E_i x_i(t)) \quad (4)$$

в результате решения (2), (3) получается не зависящей от времени и равной $E^* = D - 1.3kT$ (D — энергия диссоциации); таким образом, разность $D - E^*$ близка к средней тепловой энергии системы, независимо от степени отклонения системы от равновесия. Величина τ в (1) при этом меняется совершенно незначительно (фиг. 1), что и дает основания полагать (1) выполняющимся. Этот результат тесно связан с тем фактом, что отклонения от больцмановского распределения молекул по уровням в процессе эволюции системы к равновесию оказались существенны лишь на тех уровнях, где относительно мало число молекул.

Выполненный на ударной трубе эксперимент, в котором исследовалось изменение заселенности группы нижних уровней молекулы кислорода (в спектре поглощения ультрафиолетового излучения в газе за фронтом ударной волны), позволил определить значения τ согласно (1) до температуры 10 000°К (фиг. 2). Согласие результатов расчета и эксперимента подтверждает сделанные выводы относительно возможности использования (1) при решении соответствующих задач динамики газов высокой температуры.

Поступила 19 VIII 1968

ЛИТЕРАТУРА

- Ступченко Е. В., Лосев С. А., Осипов А. И. Релаксационные процессы в ударных волнах. М., «Наука», 1965.
- Осипов А. И. Термическая диссоциация двухатомных молекул при высоких температурах. Теор. и эксперим. химия, 1966, № 5, стр. 649.
- Куксенко Б. В., Лосев С. А. Колебательная релаксация при атом-молекулярных столкновениях. Докл. АН СССР, 1968, т. 178, № 6, стр. 1289.

ОБЪЯСНЕНИЕ ЭФФЕКТА ТОМСА АНИЗОТРОПИЕЙ ВЯЗКОСТИ РАСТВОРА

Г. Ф. Кобец

(Новосибирск)

Томсон [1] экспериментально было установлено, что при турбулентном течении в трубах раствора полиметилметакрилата в монохлорбензole в определенном диапазоне концентрации гидравлическое сопротивление меньше, чем в растворителе. В дальнейшем этот эффект был зафиксирован при турбулентном течении разбавленных водных растворов в трубах, между врачающимися коаксиальными цилиндрами, а также при обтекании тел хорошо и плохо обтекаемой формы. В качестве присадок использовались высокомолекулярные соединения как биологического, так и синтетического происхождения [2–7].

Многочисленными исследованиями были выявлены следующие особенности потоков растворов, обнаруживающих эффект Томса. Во-первых, существенный эффект наблюдался при использовании высокомолекулярных полимеров только цепочечного строения, боковые ответвления его ухудшили [8]. Важная роль удлинения частиц была строго доказана экспериментами по течению в трубе воды, содержащей нейлоновые нити с удлинением от 11.69 до 51.14 [8]. Во-вторых, растворенные частицы влияют главным образом на слой жидкости вблизи стенки, не внося изменений в зону развитого турбулентного потока [9–11].

В работе [12] для объяснения эффекта Томса была предложена гипотеза, которая учитывает указанные две особенности течения растворов. Содержание ее таково: вследствие большого градиента скорости в вязком подслое и слое перехода удлиненные частицы ориентируются вдоль потока и тем самым гасят поперечные пульсации скорости u' . Это приводит к уменьшению турбулентного трения $\rho_0 \langle u'v' \rangle$, где u' — пульсация продольной составляющей скорости.

Ниже приводятся качественные расчеты на основе предложенной гипотезы и сравниваются с экспериментальными данными.